

REVISTA SIGMA

Departamento de Matemáticas

Universidad de Nariño

Volumen XV^N1 (2019), páginas 16–27

TESELACIONES REGULARES-ISOMÉTRICAS EN EL PLANO EUCLIDIANO

ANDERSON STIVEN QUINTERO ¹

CAMILO RAMÍREZ MALUENDAS ²

Abstract: In this paper we introduce the mathematical object regular-isometric tessellation of the Euclidean plane and, we prove that the unique regular-isometric tessellation of the Euclidean plane are the well known regular tessellation by triangles, squares and hexagons.

Keywords. Tessellation, regular-isometric tessellation.

Resumen: En este artículo introducimos el concepto de teselación regular-isométrica en el plano Euclidiano y probamos que las únicas teselaciones regulares-isométricas que admite el plano Euclidiano están conformada por triángulos equiláteros, cuadrados y hexágonos regulares.

Palabras Clave. Teselación, Teselación regular-isométrica.

1. Introducción

La técnica de teselar ha estado presente en las grandes civilizaciones antiguas como la Egipcia (-2800,- 80), la Babilónica (-1792,-539) entre otras. Prueba de ello son sus vistosas estructuras arquitectónicas decoradas con moisacos pintorescos, pinturas coloridas, figuras talladas en bajo relieve, etcétera. A grosso modo, teselar es cubrir una región o superficie con una cantidad determinada de piezas siguiendo un patrón u orden, sin dejar espacio y superponer las pieza.

Durante el florecimiento de la civilización griega surgieron los cinco poliedros regulares, conocidos también como los sólidos platónicos:³ *tetraedro*, *hexaedro*, *octaedro*, *dodecaedro* e *icosaedro* (véase Figura 1), los cuales son teselaciones regulares en la “esfera” y están formadas

¹FUNDACIÓN UNIVERSITARIA KONRAD LORENZ. CP. 110231, BOGOTÁ, COLOMBIA. Email: andersons.quinteroe@konradlorenz.edu.co

²UNIVERSIDAD NACIONAL DE COLOMBIA, SEDE MANIZALES. MANIZALES, COLOMBIA. Email: camramirezma@unal.edu.co

*Autor responsable de la correspondencia.

³Acorde con Proclo (412-485), estos objetos fueron descubiertos por la escuela pitagórica (véase e.g., [9, p. 2]; [2, p. 49]).

mediante un mismo polígono regular; cuatro triángulos, cuatro cuadrados, ocho triángulos, doce pentágonos y veinte triángulos, respectivamente. Otros ejemplos de teselaciones son las tres teselaciones regulares en el plano Euclidiano mediante triángulos equiláteros $\{3, 6\}$,⁴ cuadrados $\{4, 4\}$ y hexágonos regulares $\{6, 3\}$ (véase Figura 2).

La definición de teselación regular⁵ desde el punto de vista algebraico y geométrico proviene de [5, p.101], la cual es dada a partir de la acción transitiva del grupo de automorfismos de la teselación sobre el conjunto de banderas de la teselación (véase también [3]). No obstante, nosotros introducimos la definición de *teselación regular-isométrica* en el plano Euclidiano, menos sofisticada y robusta en comparación a la dada por los anteriores autores, pues no pasamos por el grupo de automorfismos de una teselación pero si consideramos el grupo de Isometrías del plano Euclidiano.

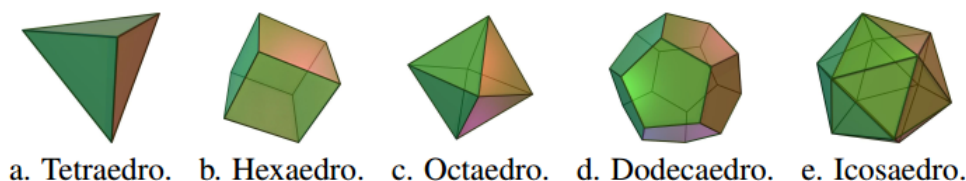


Figura 1: *Poliedros regulares.*

Imagen de Maksim Pe, distribuida bajo CC BY-SA 4.0

Motivados por el gran interés que han despertado las teselaciones regulares en esta última década (véase e.g., [1]; [4]; [6]; [7] entre otras) y, el importante rol que han desempeñado las teselaciones en el desarrollo histórico, probamos el siguiente resultado con argumentos sencillos de la teoría congruencia módulo y la geometría Euclidiana.

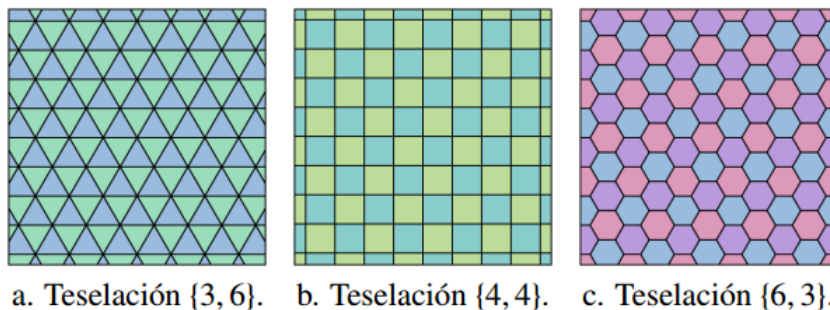


Figura 2: *Teselaciones regulares del plano Euclidiano.*

Imagen de R. A. Nonenmacher, distribuida bajo CC BY-SA 2.5

Teorema 1. *Si P es una teselación regular-isométrica en el plano Euclidiano \mathbb{R}^2 , entonces P está conformada por triángulos equiláteros, cuadrados o hexágonos regulares*

Además, recopilamos varias ideas geométricas que aparecen en la sección 2 de [10] y proponemos una prueba a la siguiente afirmación.

Teorema 2. *Existen teselaciones regulares-isométrica en el plano Euclidiano mediante cuadrados, triángulos equiláteros y hexágonos regulares.*

⁴El par $\{p, q\}$, introducido por Schäfli, L., es llamado el tipo de Schäfli de la teselación, lo cual significa que dicha teselación está conformado por p -ágonos y en cada vértice de los p -ágonos que conforman la teselación inciden exactamente q p -ágonos.(véase [9, p.6])

⁵Este concepto se extiende también a los objetos conocidos como politopos. Véase [9].

Antes de proceder a la prueba de los teoremas **1** y **2**, introduciremos la definición de los objetos: *teselación* y *teselación regular-isométrica* en el plano Euclidiano. A través de este escrito denotaremos mediante \mathbb{R}^2 al plano Euclidiano dotado de la métrica Euclidiana usual.

Definición 1. [8, p.16]. Una teselación P en el plano Euclidiano \mathbb{R}^2 es una familia numerable de subconjuntos cerrados de \mathbb{R}^2 , los cuales satisfacen las siguientes dos condiciones:

- (1) Los elementos de P cubren a \mathbb{R}^2 , en otras palabras, el plano Euclidiano es la unión de los elementos de P ,

$$\mathbb{R}^2 = \bigcup_{i \in P} P_i.$$

- (2) Cualesquiera dos elementos de P no se sobreponen, es decir, el interior de los cerrados que conforman a P son disjuntos dos a dos.

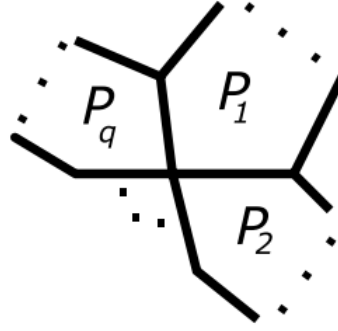


Figura 3: q p -ángulos incidentes en un vértice.

Definición 2. Diremos que la teselación P en el plano Euclidiano \mathbb{R}^2 es regular-isométrica si se satisfacen las siguientes propiedades:

- (1) Los cerrados que conforman a la familia P son p -ángulos regulares, para algún $p \geq 3$.
- (2) Los polígonos de P son isométricos.
- (3) La intersección de cualesquiera dos p -ángulos diferentes de P es vacía, un vértice o una arista.
- (4) En cada vértice de cada polígono $p \in P$ inciden exactamente $q \geq 3$ elementos de P .

DEMOSTRACIÓN DEL TEOREMA 1

Consideramos P una teselación regular-isométrica en el plano Euclidiano \mathbb{R}^2 , conformada por p -ángulos regulares, para algún $p \geq 3$. Recordemos que la medida de los ángulos interiores de un p -ángono $p \in P$ es igual a $\frac{\pi(p-2)}{p}$. Dado que en cada vértice de P inciden exactamente $q \geq 3$ p -ángulos pertenecientes a P (véase Figura [3]), entonces q veces la medida de un ángulo interior de P es igual a 2π , dicho de otra manera,

$$\pi \frac{(p-2)}{p} q = 2\pi \tag{1}$$

De la igualdad (1) obtenemos que $(p-2)q = 2p$, lo cual implica que $2p$ es congruente a 0 módulo $p-2$,

$$2p \equiv 0 \pmod{p-2}. \tag{2}$$

Dado que $0 \equiv p - 2 \pmod{p - 2}$ y la relación congruente módulo es transitiva, entonces de la expresión (2) tenemos que

$$2p \equiv p - 2 \pmod{p - 2}. \quad (3)$$

De esta última congruencia deducimos fácilmente que

$$p + 2 \equiv 0 \pmod{p - 2}. \quad (4)$$

Nuevamente, dado que $0 \equiv p - 2 \pmod{p - 2}$ y la relación congruente módulo es transitiva de la relación (4) obtenemos que

$$p + 2 \equiv p - 2 \pmod{p - 2}. \quad (5)$$

A partir de esta última relación planteamos la ecuación

$$p + 2 - (p - 2) = k(p - 2), \quad \text{para algún } k \in \mathbb{Z}^+ \text{ y } p \geq 3, \quad 4 = k(p - 2), \quad (6)$$

la cual solo puede tener las siguientes tres soluciones enteras positivas

$$k_1 = 1 \text{ y } p_1 = 6, \quad k_2 = 2 \text{ y } p_2 = 4, \quad k_3 = 4 \text{ y } p_3 = 3.$$

Esto implica que p solo puede tomar valores en el conjunto $\{3, 4, 5\}$, entonces los polígonos que están en la familia P son triángulos equiláteros, cuadrados o hexágonos regulares. Además, si P está conformada por triángulos equiláteros, cuadrados o hexágonos regulares respectivamente, se sigue de la ecuación (1) que en cada vértice de cada polígono $p \in P$ inciden exactamente $q = 6, 4$ y 3 elementos de P , respectivamente. \square

DEMOSTRACIÓN DEL TEOREMA 2

La prueba de este teorema consiste en la construcción explícita de tres teselaciones regulares-isométricas en el plano Euclidiano conformadas por: cuadrados, triángulos equiláteros y hexágonos regulares, respectivamente.

2. Construcción de una teselación regular-isométrica en el plano Euclidiano conformada por cuadrados

Para cada pareja ordenada $(a, b) \in \mathbb{Z} \times \mathbb{Z}$ definimos el cuadrado

$$P_{(a,b)} := \{(x, y) \in \mathbb{R}^2 : a \leq x \leq a + 1, b \leq y \leq b + 1\}. \quad (1)$$

Probaremos que la familia

$$P_{\square} := \{P_{(a,b)} : (a, b) \in \mathbb{Z} \times \mathbb{Z}\}, \quad (2)$$

es una teselación regular-isométrica en el plano Euclidiano conformada por cuadrados. Veamos que en efecto P_{\square} es una teselación en el plano Euclidiano. Por definición de P_{\square} es inmediato que

$$\bigcup_{(a,b) \in \mathbb{Z} \times \mathbb{Z}} P_{(a,b)} \subset \mathbb{R}^2.$$

Ahora, tomamos el par ordenado $(x, y) \in \mathbb{R}^2$ y la función piso $g : \mathbb{R} \rightarrow \mathbb{Z}$, definida mediante

$$v \mapsto \lfloor v \rfloor := \max\{k \in \mathbb{Z} : k \leq v\},$$

entonces consideramos el cuadrado $P_{(\lfloor x \rfloor, \lfloor y \rfloor)} \in P_{\square}$. Dado que para todo número real $v \in \mathbb{R}$ se satisface la relación $\lfloor v \rfloor \leq v < \lfloor v \rfloor + 1$, entonces $(x, y) \in P(\lfloor x \rfloor, \lfloor y \rfloor)$. Esto prueba la contención.

$$\mathbb{R}^2 \subset \bigcup_{(a,b) \in \mathbb{Z} \times \mathbb{Z}} P_{(a,b)},$$

Así, concluimos que los elementos de P_{\square} cubren al plano Euclidiano.

Por otro lado, consideremos dos cuadrados diferentes $P_{(a,b)} \neq P_{(c,d)} \in P_{\square}$ y veamos que la intersección de los interiores de $P_{(a,b)}$ y $P_{(c,d)}$ es vacía. Procederemos por contradicción. Supongamos que existe un par ordenado $(x, y) \in \mathbb{R}^2$ en la intersección de los interiores de $P_{(a,b)}$ y $P_{(c,d)}$. Entonces $a < x < a + 1$, $b < y < b + 1$ y; $c < x < c + 1$, $d < y < d + 1$, al evaluar los valores x y y en la función piso g se obtiene que $a = \lfloor x \rfloor = c$ y $b = \lfloor y \rfloor = d$, ello implica que los cuadrados $P_{(a,b)}$ y $P_{(c,d)}$ son el mismo i.e., $P_{(a,b)} = P_{(c,d)}$, lo cual es una contradicción. Por lo tanto, el interior de los cuadrados que conforman a P_{\square} son disjuntos dos a dos. Esto prueba que en efecto P_{\square} es una teselación en el plano Euclidiano. Para terminar, verificaremos que el conjunto P_{\square} satisface las condiciones **(1)**-**(4)** enunciadas en la **definición 2**. Observemos que por la forma en que se definieron los objetos en P_{\square} es inmediato **(1)**. Además, los cuadrados del conjunto P_{\square} son isométricos, pues cualesquiera dos elementos $P(a, b), P(c, d) \in P_{\square}$ difieren por una translación, es decir, la translación $T : \mathbb{R}^2 \rightarrow \mathbb{R}^2$,

$$(x, y) \mapsto (x, y) + (c - a, d - b),$$

envía el cuadrado $P_{(a,b)}$ sobre el cuadrado $P_{(c,d)}$, esto verifica **(2)**.

Ahora, consideremos los cuadrados $P_{(a,b)} \neq P_{(c,d)} \in P_{\square}$ y veamos que su intersección es vacía, un vértice o una arista. Las parejas ordenadas con entradas enteras (a, b) y (c, d) son diferentes, lo cual nos implica los siguientes tres casos a examinar.

Caso 1. Las parejas (a, b) y (c, d) solo difieren en una entrada. Supongamos que dichas parejas coinciden en la primera entrada pero difieren en la segunda entrada, es decir, $a = c$ y $b \neq d$ (el caso en que las parejas coinciden en la segunda entradas pero difieren en la primera entrada, es decir, $a \neq c$ y $b = d$, se prueba de manera similar), entonces se satisface alguna de las siguientes relaciones $b = d \pm 1$ o $b \neq d \pm 1$.

* Si se satisface que $b = d \pm 1$, entonces

$$\begin{aligned} P_{(a,b)} = P_{(c,b)} &:= \{(x, y) \in \mathbb{R}^2 : a \leq x \leq a + 1 \text{ y } b \leq y \leq b + 1\}, \\ &:= \{(x, y) \in \mathbb{R}^2 : c \leq x \leq c + 1 \text{ y } (d \pm 1) \leq y \leq (d \pm 1) + 1\}, \\ P_{(c,d)} &:= \{(x, y) \in \mathbb{R}^2 : c \leq x \leq c + 1 \text{ y } d \leq y \leq d + 1\}, \end{aligned}$$

y la intersección $P_{(a,b)} \cap P_{(c,d)}$ es el segmento de recta con extremos (a, d) y $(a + 1, d)$ (véase Figura 4-a.) o, el segmento de recta con extremos $(a, d + 1)$ y $(a + 1, d + 1)$ (véase Figura 4-b.), es decir, una arista.

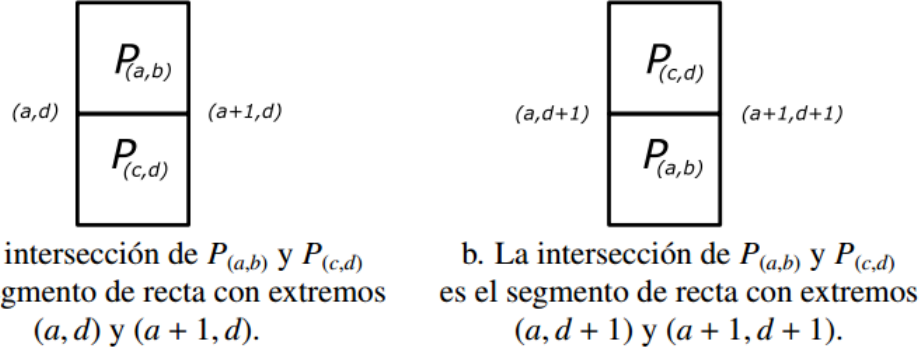


Figura 4: La intersección de los cuadrados $P_{(a,b)}$ y $P_{(c,d)}$ es un segmento.

* Contrariamente, si se cumple que $b \neq d \pm 1$, entonces

$$\begin{aligned} P_{(a,b)} = P_{(c,b)} &:= \{(x, y) \in \mathbb{R}^2 : a \leq x \leq a + 1 \text{ y } b \leq y \leq b + 1\}, \\ &:= \{(x, y) \in \mathbb{R}^2 : c \leq x \leq c + 1 \text{ y } b \leq y \leq b + 1\}, \\ P_{(c,d)} &:= \{(x, y) \in \mathbb{R}^2 : c \leq x \leq c + 1 \text{ y } d \leq y \leq d + 1\}, \end{aligned}$$

y la intersección $P_{(a,b)} \cap P_{(c,d)}$ es vacía (véase Figura 5-a).

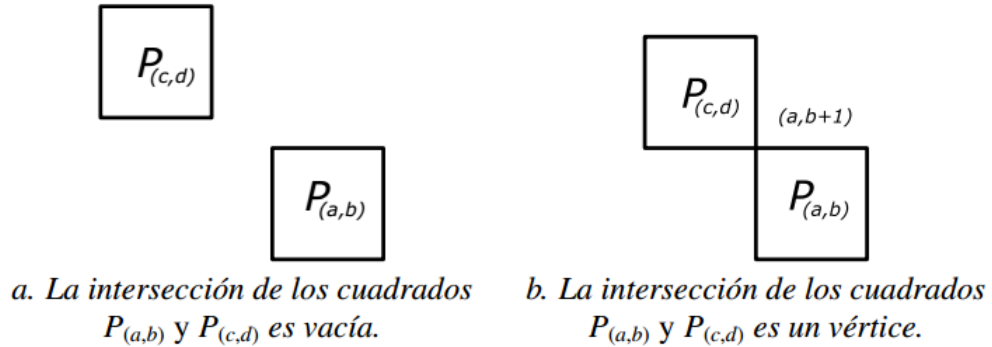


Figura 5: La intersección de los cuadrados $P_{(a,b)}$ y $P_{(c,d)}$ es vacía o un punto.

Caso 2. Las parejas (a, b) y (b, c) difieren en ambas entradas, es decir, $a \neq c$ y $b \neq d$. Entonces, probaremos que la intersección $P_{(a,b)} \cap P_{(b,c)} = \emptyset$. Contrariamente, si la intersección $P_{(a,b)} \cap P_{(c,d)} = \emptyset$, entonces existe un elemento $(x, y) \in P_{(a,b)} \cap P_{(c,d)}$ tales que se satisfacen las siguientes desigualdades

$$\begin{aligned} a \leq x \leq a + 1 \quad \text{y} \quad b \leq y \leq b + 1, \\ c \leq x \leq c + 1 \quad \text{y} \quad d \leq y \leq d + 1, \end{aligned} \tag{3}$$

Al restar las dos últimas desigualdades a las dos primeras tenemos que

$$a - c \leq 0 \leq a - c \quad \text{y} \quad b - d \leq 0 \leq b - d, \tag{4}$$

ello implica que $a = c$ y $b = d$, pero este hecho es claramente una contradicción pues $a \neq c$ y $c \neq d$. Por lo tanto, $P_{(a,b)} \cap P_{(b,c)} = \emptyset$.

Caso 3. Si $a = c + 1$ y $b = d + 1$, se sigue que

$$\begin{aligned}
 P_{(a,b)} = P_{(c+1,b+1)} &:= \{(x, y) \in \mathbb{R}^2 : a \leq x \leq a+1, b \leq y \leq b+1\}, \\
 &:= \{(x, y) \in \mathbb{R}^2 : c+1 \leq x \leq c+2, d+1 \leq y \leq d+2\}, \\
 P_{(c,d)} &:= \{(x, y) \in \mathbb{R}^2 : c \leq x \leq c+1, d \leq y \leq d+1\},
 \end{aligned}$$

Entonces la intersección $P_{(a,b)} \cup P_{(b,c)} = \emptyset$ es el punto $(c+1, d+1)$ (véase Figura 5-b), es decir, un vértice. El anterior análisis nos prueba que se verifica (3).

Finalmente, por construcción el conjunto formado por los vértices de los cuadrados de la teselación P_{\square} coincide con $\mathbb{Z} \times \mathbb{Z}$. Además, en cada pareja ordenada $(a, b) \in \mathbb{Z} \times \mathbb{Z}$ inciden los cuatro cuadrados de la teselación P_{\square} $P_{(a,b)}, P_{(a-1,b)}, P_{(a,b-1)}$ y $P_{(a-1,b-1)}$. Eso prueba que P_{\square} cumple (4). Así, concluimos que P_{\square} es una teselación regular-isométrica en el plano Euclidiano formado por cuadrados.

3. Construcción de una teselación regular-isométrica en el plano Euclidiano mediante triángulos equiláteros

Consideremos la transformación lineal $f : \mathbb{R}^2 \rightarrow \mathbb{R}^2$ que define la matriz

$$A = \begin{pmatrix} 1 & \frac{1}{2} \\ 0 & \frac{\sqrt{3}}{2} \end{pmatrix}; \quad (1)$$

la cual es biyectiva y satisface las siguientes propiedades: fija el eje x y envía las rectas perpendiculares al eje x sobre rectas con pendiente $\tan \frac{\pi}{3}$.

Ahora, definimos el conjunto

$$P := \{P_{f(a,b)} : (a, b) \in \mathbb{Z} \times \mathbb{Z}\} \quad (2)$$

siendo $P_{f(a,b)}$ la imagen directa del cuadrado $P_{(a,b)}$ (véase ecuación 7) bajo la transformación f .

Observación 1. *Dado que la transformación lineal f es un homeomorfismo, entonces el conjunto P es una teselación en el plano Euclidiano mediante paralelogramos, con las siguientes propiedades:*

- (1) *Los paralelogramos de P son isométricos pues difieren por una translación. Para cualesquiera paralelogramos $P_{f(a,b)}$ y $P_{f(c,d)}$ de P consideramos la translación $\hat{T} : \mathbb{R}^2 \rightarrow \mathbb{R}^2$ definida mediante*

$$(x, y) \mapsto (x, y) + f(a, b) - f(c, d)$$

la cual envía el paralelogramo $P_{f(a,b)}$ sobre el paralelogramo $P_{f(c,d)}$.

- (2) *La intersección de cualesquiera dos paralelogramos diferentes de P es vacía, un vértice o una arista.*
- (3) *En cada vértice de cada paralelogramo $P \in P$ inciden exactamente 4 paralelogramos de P .*

Entonces $P_{f(a,b)}$ es un paralelogramo de lado uno, con ángulos interiores $\{\frac{2\pi}{3}, \frac{\pi}{3}\}$ y, cuyos vértices son los puntos coordenados siguientes (véase Figura 6-a.)

$$\left(\frac{2a+b}{2}, \frac{\sqrt{3}b}{2}\right), \left(\frac{2+2a+b}{2}, \frac{\sqrt{3}b}{2}\right), \left(\frac{2a+b+1}{2}, \frac{\sqrt{3}(b+1)}{2}\right) \text{ y } \left(\frac{2a+b+3}{2}, \frac{\sqrt{3}(b+1)}{2}\right).$$

En cada paralelogramos $P_{f(a,b)}$ de P trazamos el segmento de recta $L_{f(a,b)}$ con extremos los vértices $\left(\frac{2+2a+b}{2}, \frac{\sqrt{3}b}{2}\right)$ y $\left(\frac{2a+b+1}{2}, \frac{\sqrt{3}(b+1)}{2}\right)$. Entonces, obtenemos dos triángulos equiláteros de lado uno $P_{f(a,b)}^1$ y $P_{f(a,b)}^2$, como se muestra en la Figura 6-b. Los vértices del triángulo equilátero $P_{f(a,b)}^1$ tienen coordenadas

$$\left(\frac{2a+b}{2}, \frac{\sqrt{3}b}{2}\right), \left(\frac{2+2a+b}{2}, \frac{\sqrt{3}b}{2}\right) \text{ y } \left(\frac{2a+b+1}{2}, \frac{\sqrt{3}(b+1)}{2}\right).$$

Así mismo, los vértices el triángulo equilátero $P_{f(a,b)}^2$ tienen coordenadas

$$\left(\frac{2+2a+b}{2}, \frac{\sqrt{3}b}{2}\right), \left(\frac{2a+b+1}{2}, \frac{\sqrt{3}(b+1)}{2}\right) \text{ y } \left(\frac{2a+b+3}{2}, \frac{\sqrt{3}(b+1)}{2}\right).$$

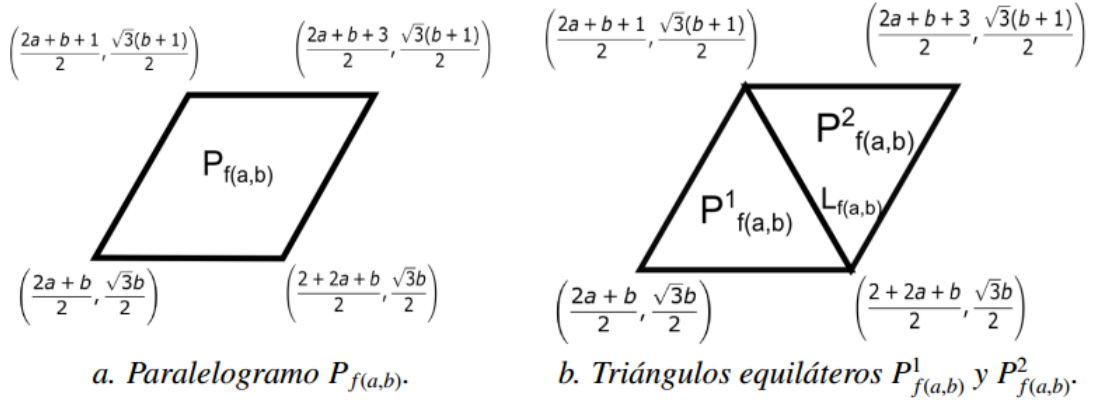


Figura 6: Elementos del conjunto P .

Por construcción, el paralelogramo $P_{f(a,b)}$ es la unión $P_{f(a,b)} := P_{f(a,b)}^1 \cup P_{f(a,b)}^2$ tal que la intersección $P_{f(a,b)}^1 \cap P_{f(a,b)}^2 := P_{f(a,b)}^1 \cap P_{f(a,b)}^2$ es el segmento $L_{f(a,b)}$. Además, el segmento $L_{f(a,b)}$ biseca los dos ángulos del paralelogramos que tienen medida $\frac{2\pi}{3}$.

Finalmente, de nuestra construcción anterior definimos el conjunto

$$P_{\Delta} \{:= P_{f(a,b)}^1, P_{f(a,b)}^2 : (a, b) \in \mathbb{Z} \times \mathbb{Z}\}, \quad (3)$$

la cual es una teselación del plano Euclidiano mediante triángulos equiláteros. Probaremos que el conjunto P_{Δ} es una teselación regular-isométrica del plano Euclidiano mediante triángulos equiláteros.

Por construcción, la teselación P_{Δ} satisface las dos primeras condiciones de la definición **2**, entonces solo debemos verificar las dos últimas condiciones de la mencionada definición.

Veamos que se satisface la condición **(3)**, entonces probaremos que los triángulos equiláteros $P_{f(a,b)}^i$ y $P_{f(0,0)}^1$ de P_{Δ} son isométricos, para algún $i \in \{1, 2\}$ y para algún $(a, b) \in \mathbb{Z} \times \mathbb{Z}$.

Debemos considerar los siguientes dos casos.

Caso 1. Si $i = 1$, entonces los triángulos $P_{f(a,b)}^1$ y $P_{f(0,0)}^1$ difieren por una translación, es decir, la translación $T_{f(a,b)} : \mathbb{R}^2 \rightarrow \mathbb{R}^2$ definida mediante

$$(x, y) \mapsto (x, y) + f(a, b),$$

envía el triángulo equilátero $P_{f(0,0)}^1$ en el triángulo equilátero $P_{f(a,b)}^1$.

Caso 2. Si $i = 2$, entonces consideramos la reflexión $R : \mathbb{R}^2 \rightarrow \mathbb{R}^2$ con respecto a la línea recta que pasa por los vértices $f(1, 0)$ y $f(0, 1)$ del cuadrilátero $P_{f(0,0)}$. Notemos que R envía el triángulo equilátero $P_{f(0,0)}^1$ sobre el triángulo $P_{f(0,0)}^2$, esto implica que los triángulos $P_{f(0,0)}^1$ y $P_{f(0,0)}^2$ son isométricos. Ahora, consideramos la función composición $T_{f(a,b)} \circ R$, la cual es una isometría que envía el triángulo equilátero $P_{f(0,0)}^1$ sobre el triángulo equilátero $P_{f(0,0)}^2$.

Finalmente, probaremos que se satisface la propiedad (4) de la definición **2**, concretamente, probaremos que en cada vértice de cada triángulo equilátero de P_Δ inciden exactamente $q = 6$ triángulos de P_Δ .

Por construcción $\{f(a, b) : (a, b) \in \mathbb{Z} \times \mathbb{Z}\} \subset \mathbb{R}^2$ es el conjunto formado por los vértices de los triángulos que conforman al conjunto P_Δ . De la Observación **1** inciso (3) se sigue que el punto $f(a, b)$ es un vértice de exactamente cuatro paralelogramos P_1, P_2, P_3 y P_4 de P . Además, podemos suponer sin pérdida de generalidad, que el punto $f(a, b)$ en P_1 y P_4 es el vértice de un ángulo cuya medida es $\frac{2\pi}{3}$ (véase Figura 7-a). Asimismo, el punto $f(a, b)$ en P_2 y P_3 es el vértice de un ángulo cuya medida es $\frac{\pi}{3}$. Ahora, recordemos que en cada paralelogramo P_i con $i \in \{1, \dots, 4\}$ trazamos solamente un segmento de línea recta con extremos el vértice de los dos ángulos cuya medida es $\frac{2\pi}{3}$ (véase Figura 7-b), entonces el punto $f(a, b)$ es vértice de seis triángulos equiláteros pertenecientes a la teselación P_Δ .

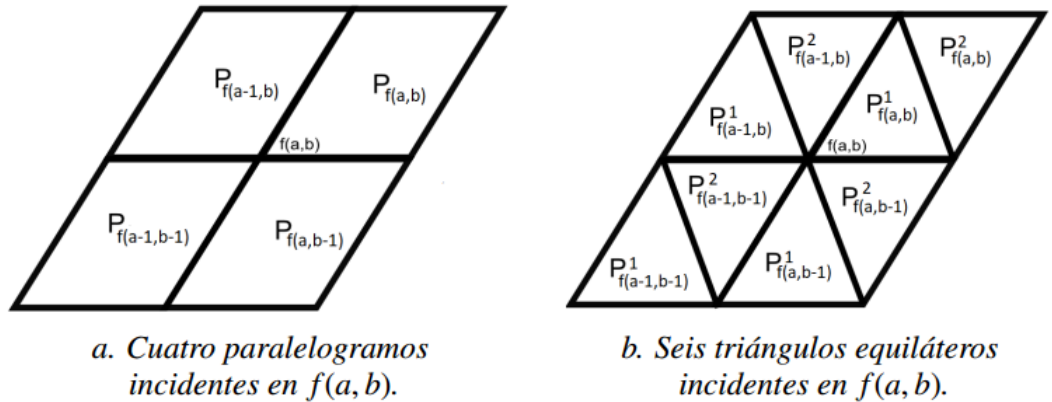


Figura 7: Paralelogramos y triángulos equiláteros.

Dado que la teselación P_Δ definida en la ecuación 13 satisface las cuatro condiciones de la definición **2**, entonces podemos concluir que P_Δ es una teselación regular-isométrica en el plano Euclidiano mediante triángulos equiláteros.

4. Construcción de una teselación regular-isométrica en el plano Euclidiano mediante hexágonos regulares

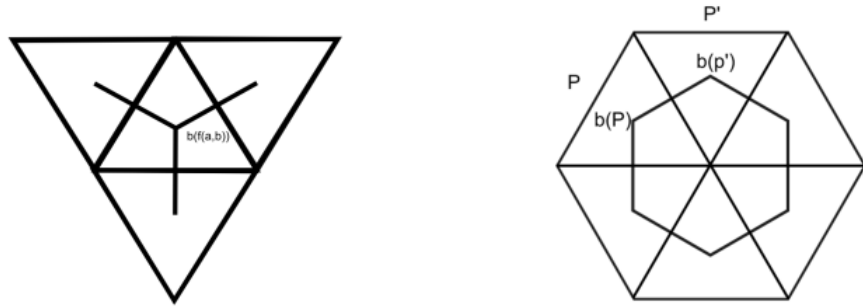
En cada triángulo equilátero P de la teselación P_Δ (véase ecuación **13**) consideramos su respectivo baricentro

$$b(P) := \frac{1}{3} \sum_{k=0}^2 (X_k, Y_k) \quad (1)$$

siendo (x_k, y_k) con $k \in \{0, 1, 2\}$ los vértices del triángulo equilátero P . Denotaremos mediante $B := \{b(P) : P \in P_\Delta\}$ al conjunto formado por los baricentros de los triángulos $P \in P_\Delta$. Luego, trazamos el segmento de recta $\gamma(P, P')$ con extremos los baricentros $b(P)$ y $b(P')$ si y solo si los triángulos equiláteros P y P' tienen una arista en común, para cada $P, P' \in P_\Delta$. Véase Figura 8-a. Denotaremos mediante G al conjunto formado por los segmentos de recta $\gamma(P, P')$.

Observación 2. Cada segmento de recta $\gamma(P, P') \in G$ tiene longitud uno. Además, cada baricentro $b(P) \in B$ es extremo de exactamente tres segmentos de línea recta pertenecientes a G (véase Figura 8-a). La intersección de dos elementos diferentes $\gamma; \hat{\gamma} \in G$ es vacía o un baricentro.

Ahora, consideramos la unión $B \cup G$, el cual es un subconjunto conexo y cerrado del espacio Euclidiano \mathbb{R}^2 . Finalmente, denotamos mediante P_* al conjunto formado por la cerradura de cada componente



a. Tres segmentos de recta que tiene como extremo el punto $b(f(a,b))$.

b. Segmento de recta $\gamma(P, P')$ con extremos los baricentros $b(P)$ y $b(P')$.

Figura 8: Elementos que conforman los conjuntos B y G .

conexa de $\mathbb{R}^2 \setminus (B \cup G)$ i.e.,

$$P_* := \{\overline{C} : C \text{ es una componente conexa de } \mathbb{R}^2 \setminus (B \cup G)\}. \quad (2)$$

Probaremos que el conjunto P_* es una teselación regular-isométrica del plano Euclidiano mediante hexágonos regulares.

Por construcción, P_* es una teselación del plano Euclidiano y además, se satisface la condición (3) de la definición **2**. Entonces solo es necesario probar que P satisface las condiciones (1), (2) y (4) de la definición **2**.

Veamos que se verifica la condición (1). Recordemos que en el punto coordenado $f(a, b) \in \mathbb{R}^2$ es vértice de los seis triángulos equiláteros $P_{f(a+1,b)}$, $P_{f(a-1,b)}$, $P_{f(a,b+1)}$, $P_{f(a-1,b+1)}$,

$P_{f(a+1,b+1)}$ y $P_{f(a+1,b-1)}$ de P_Δ , para cada $(a, b) \in \mathbb{Z} \times \mathbb{Z}$. El punto $f(a, b)$ equidista a los baricentros $b(P_{f(a+1,b)})$, $b(P_{f(a-1,b)})$, $b(P_{f(a,b+1)})$, $b(P_{f(a-1,b+1)})$, $b(P_{f(a+1,b+1)})$ y $b(P_{f(a+1,b-1)})$ de los seis triángulos equiláteros, anteriormente mencionados, entonces existen exactamente seis segmentos de líneas rectas $\gamma_1, \dots, \gamma_6 \in G$ y una componente conexa $C \subset \mathbb{R}^2 \setminus (B \cup G)$ tal que:

- (1) El punto $f(a, b)$ está en el interior de C .
- (2) La frontera de C está compuesta por los segmentos de línea recta $\gamma_1, \dots, \gamma_6$ (véase Figura 8-b).
- (3) La cerradura \overline{C} es un hexágono regular de lado uno.

Por otro lado, como la intersección $G \cap \{f(a, b) : (a, b) \in \mathbb{Z} \times \mathbb{Z}\} = \emptyset$; es claro que si consideramos la componente conexa $C \subset \mathbb{R}^2 \setminus (B \cup G)$ existe un único elemento $(a, b) \in \mathbb{Z} \times \mathbb{Z}$ tal que el punto coordenado $f(a, b)$ está en el interior de C . Debido a esta relación biunívoca a la única componente conexa $C \subset \mathbb{R}^2 \setminus (B \cup G)$ que contienen al punto $f(a, b)$ la podemos denotar mediante $C_{f(a,b)}$, entonces la teselación P_* se reescribe como

$$P_* := \{\overline{C}_{f(a,b)} : (a, b) \in \mathbb{Z} \times \mathbb{Z}\}.$$

Estos hechos muestran que los elementos de P_* son hexágonos regulares y, por tanto, se verifica (1). En efecto, se cumple (2) i.e., los elementos de P_* son isométricos, pues si consideramos los hexágonos $\overline{C}_{f(a,b)}, \overline{C}_{f(c,d)} \in P_*$ estos difieren por una translación, en otras palabras, la translación $f : \mathbb{R}^2 \rightarrow \mathbb{R}^2$ definida mediante

$$(x, y) \mapsto (x, y) + f(c, d) - f(a, b),$$

envía el hexágono regular $\overline{C}_{f(a,b)}$ sobre el hexágono regular $\overline{C}_{f(c,d)}$.

Finalmente, probaremos que se satisface la propiedad (4). El conjunto B está formado por todos los vértices de los hexágonos que conforman al conjunto P_* , entonces el punto coordenado $b(f(a, b))$ para algún $(a, b) \in \mathbb{Z} \times \mathbb{Z}$ es el baricentro de un triángulo equilátero $P \in P_\Delta$ y de la observación 2 es inmediato que existen exactamente tres segmentos de línea recta pertenecientes al conjunto G que tienen como extremo al punto $b(f(a, b))$, ello implica que $b(f(a, b))$ es un vértice de exactamente tres hexágonos de P_* , es decir, en cada vértice de cada hexágono de P_* inciden exactamente 3 hexágonos de P_* . De este modo, concluimos que el conjunto P_* es una teselación regular-isométrica en el plano Euclidiano mediante hexágonos regulares. \square

Referencias

- [1] Arredondo J., Ramírez C., Valdez F. On the topology of infinite regular and chiral maps. *Discrete Math.* 2017; 340(6), 1180–1186. [17](#)
- [2] Boyer C. A history of mathematics. Second edition. Edited and with a preface by Uta C. Merzbach. John Wiley Sons, Inc., New York.1989. [16](#)
- [3] Coulbois T., Pellicer D., Raggi M., Ramírez C., Valdez F. The topology of the minimal regular covers of the Archimedean tessellations. *Adv. Geom.* 2015; 15(1), 77–91. [17](#)
- [4] Conder M., Dobcsányi P. Determination of all regular maps of small genus. *J. Combin. Theory Ser. B.* 2001; 81(2), 224–242. [17](#)
- [5] Coxeter H., Moser, W. Generators and relations for discrete groups. *Ergebnisse der Mathematik und ihrer Grenzgebiete [Results in Mathematics and Related Areas]*. 14. Fourth edition. Springer-Verlag, Berlin-New York. 1980. [17](#)

- [6] Darst R., Palagallo J., Price T. Fractal tilings in the plane. *Math. Mag.* 1998; 71(1), 12–23. [17](#)
- [7] Hubbard I., Orbanic A., Pellicer D., Weiss A. Symmetries of equivelar 4-toroids. *Discrete Comput. Geom.* 2012; 48(4), 1110–1136. [17](#)
- [8] Grünbaum, B., Shephard, G. Tilings and patterns. W. H. Freeman and Company, New York. 1987. [18](#)
- [9] McMullen P., Schulte E. Abstract regular polytopes. Encyclopedia of Mathematics and its Applications. 92. Cambridge University Press, Cambridge. 2002. [16](#), [17](#)
- [10] Schulte E., Weiss A. Chirality and projective linear groups. *Discrete Math.* 1994; 131(1-3), 221–261. [17](#)